

# Numerische Mathematik

Oliver Ernst

Professur Numerische Mathematik

Sommersemester 2015



TECHNISCHE UNIVERSITÄT  
CHEMNITZ

# Inhalt I

## ① Einführung und Begriffe

- 1.1 Mathematische Modellbildung und numerische Simulation am Beispiel eines Wasserkreislaufs
- 1.2 Linearisierung und Iterationsverfahren am Beispiel des Newton-Verfahrens
- 1.3 Diskretisierung und Stabilität am Beispiel der Wärmeleitungsgleichung

## ② Gleitpunktarithmetik und Fehleranalyse

- 2.1 Gleitpunktzahlen
- 2.2 Rundung
- 2.3 Der IEEE-754 Standard
- 2.4 Korrekt gerundete Gleitpunktarithmetik
- 2.5 Numerische Stabilität und Fehleranalyse
- 2.6 Ein Beispiel

## ③ Direkte Verfahren zur Lösung linearer Gleichungssysteme

- 3.1 Vorbemerkungen
- 3.2 Störungstheorie
- 3.3 Das Lösen von Dreieckssystemen
- 3.4 Gauß-Elimination
- 3.5 Pivotisierung

# Inhalt II

3.6 Equilibrierung und Nachiteration

3.7 Stabilität bei der Gauß-Elimination

## ④ Direkte Verfahren für spezielle Systeme

4.1 Die Cholesky-Zerlegung

4.2 Bandmatrizen, Tridiagonalmatrizen

4.3 Schwach besetzte Matrizen

4.4 Vandermonde-Matrizen

4.5 Toeplitz-Matrizen

## ⑤ Lineare Ausgleichsrechnung

5.1 Die Normalgleichungen

5.2 Die Singulärwertzerlegung

5.3 Die Pseudoinverse

5.4 Orthogonale Matrizen und QR-Zerlegung

5.5 Die Kondition des linearen Ausgleichsproblems

5.6 Anwendungen der Ausgleichsrechnung

## ⑥ Interpolation und Approximation

6.1 Polynominterpolation

# Inhalt III

- 6.2 Spline-Interpolation
- 6.3 Bestapproximation in Innenprodukträumen
- 6.4 Trigonometrische Interpolation

# Inhalt

- ① Einführung und Begriffe
- ② Gleitpunktarithmetik und Fehleranalyse
- ③ Direkte Verfahren zur Lösung linearer Gleichungssysteme
- ④ Direkte Verfahren für spezielle Systeme
- ⑤ Lineare Ausgleichsrechnung
- ⑥ Interpolation und Approximation

# Interpolation

Das (allgemeine) Interpolationsproblem

Zu gegebener Funktion  $f : [a, b] \rightarrow \mathbb{C}$  und gegebenen **Stützstellen (Knoten)**

$$a \leq x_0 < x_1 < x_2 < \cdots < x_n \leq b$$

soll eine „einfache“ Funktion  $p : [a, b] \rightarrow \mathbb{C}$  konstruiert werden, die die **Interpolationsbedingungen**

$$p(x_i) = f(x_i), \quad i = 0, 1, \dots, n$$

erfüllt.

## Wozu?

- $f$  ist nur an diskreten Punkten bekannt (Messwerte), aber eine geschlossene Formel für  $f$  ist auf ganz  $[a, b]$  erwünscht (z.B. um  $f$  an Zwischenstellen  $x \in [a, b] \setminus \{x_0, x_1, \dots, x_n\}$  auszuwerten),
- $f$  ist „kompliziert“ und soll durch eine „einfache“ Funktion angenähert werden (z.B. um die Ableitung  $f'(x)$ ,  $x \in [a, b]$ , oder das Integral  $\int_a^b f(x) dx$  näherungsweise zu bestimmen).

# Interpolation

Das (noch allgemeinere) Interpolationsproblem

Sei  $X$  ein linearer Raum sowie  $\ell_1, \dots, \ell_n \in X^*$  lineare Funktionale auf  $X$ . Zu gegebenen Zahlen  $y_1, \dots, y_n$  ist ein Element  $x \in X$  gesucht mit der Eigenschaft

$$\ell_j(x) = y_j, \quad j = 1, \dots, n. \quad (6.1)$$

## Lemma 6.1

Sei  $\dim X = n$ . Sind  $x_1, \dots, x_n$  linear unabhängig in  $X$  sowie  $\ell_1, \dots, \ell_n$  linear unabhängig in  $X^*$ , so gilt

$$\det[\ell_i(x_j)]_{i,j=1}^n \neq 0. \quad (6.2)$$

Gilt umgekehrt (6.2) und ist eine der beiden Mengen  $x_1, \dots, x_n$  oder  $\ell_1, \dots, \ell_n$  linear unabhängig, so ist es auch die jeweils andere Menge.

# Interpolation

Das (noch allgemeinere) Interpolationsproblem

## Satz 6.2

Sei  $X$  ein  $n$ -dimensionaler Raum und  $\ell_1, \dots, \ell_n \in X^*$ . Dann besitzt die Interpolationsaufgabe (6.1) genau dann für beliebige Zahlen  $y_1, \dots, y_n$  eine eindeutige Lösung, wenn  $\ell_1, \dots, \ell_n$  linear unabhängig sind.

### Beispiele:

- (1)  $X = \text{span}\{1, x^2\}$  auf  $[-1, 1]$ ;  $\ell_j(f) = f(x_j)$ ,  $j = 1, 2$ ;  $-1 \leq x_1, x_2 \leq 1$ .
- (2) Ist  $X$  ein linearer Raum  $d$ -variater Polynome und die Funktionale  $\{\ell_j\}_{j=1}^n$  gegeben durch die Auswertung an  $n$  verschiedenen Punkten im  $\mathbb{R}^d$ , so sind diese Funktionale nicht notwendig linear unabhängig.

# Inhalt

- ① Einführung und Begriffe
- ② Gleitpunktarithmetik und Fehleranalyse
- ③ Direkte Verfahren zur Lösung linearer Gleichungssysteme
- ④ Direkte Verfahren für spezielle Systeme
- ⑤ Lineare Ausgleichsrechnung
- ⑥ Interpolation und Approximation
  - 6.1 Polynominterpolation
  - 6.2 Spline-Interpolation
  - 6.3 Bestapproximation in Innenprodukträumen
  - 6.4 Trigonometrische Interpolation

# Polynominterpolation

## Interpolation mit Polynomen

Zu gegebenen (paarweise verschiedenen) Knoten

$$a \leq x_0 < x_1 < x_2 < \cdots < x_n \leq b$$

und gegebenen Funktionswerten  $\{f_i\}_{i=0}^n \in \mathbb{C}$  soll ein Interpolationspolynom

$$p(x) = c_n x^n + c_{n-1} x^{n-1} + \cdots + c_1 x + c_0 \in \mathcal{P}_n$$

(mit komplexen Koeffizienten  $c_0, c_1, \dots, c_n$ , d.h.  $n+1$  Freiheitsgrade) vom Grad  $n$  konstruiert werden, das die  $n+1$  Interpolationsbedingungen

$$p(x_i) = f_i, \quad i = 0, 1, \dots, n,$$

erfüllt.

# Polynominterpolation

## Lagrange-Grundpolynome

### Satz 6.3

Die polynomiale Interpolationsaufgabe ist eindeutig lösbar. Mit den **Lagrange-Grundpolynomen** [Joseph Louis Lagrange, 1736–1813]

$$\ell_i(x) := \prod_{\substack{j=0 \\ j \neq i}}^n \frac{x - x_j}{x_i - x_j} \in \mathcal{P}_n$$

(beachte  $\ell_i(x_i) = 1$  und  $\ell_i(x_j) = 0$  für  $j \neq i$ ) lässt sich das Interpolationspolynom in der **Lagrange-Form**

$$p(x) = \sum_{i=0}^n f_i \ell_i(x)$$

darstellen.

# Polynominterpolation

Beispiel: Lagrange-Grundpolynome

**Beispiel 1.** Daten:

$$(x_0, f_0) = (-1, -1), \quad (x_1, f_1) = (0, -1), \quad (x_2, f_2) = (2, 2).$$

Lagrange-Grundpolynome:

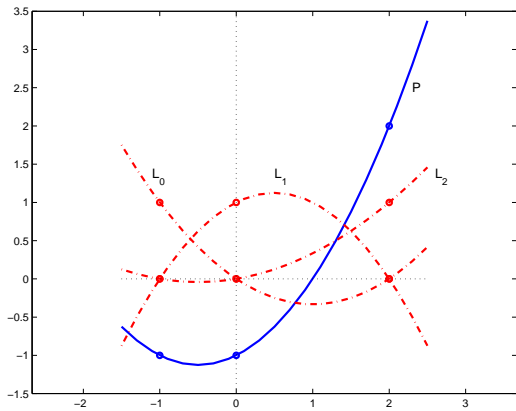
$$\ell_0(x) = \frac{x(x-2)}{3},$$

$$\ell_1(x) = \frac{(x+1)(x-2)}{-2},$$

$$\ell_2(x) = \frac{(x+1)x}{6}.$$

Interpolationspolynom:

$$\begin{aligned} p(x) &= -\ell_0(x) - \ell_1(x) + 2\ell_2(x) \\ &= \frac{1}{2}x^2 + \frac{1}{2}x - 1. \end{aligned}$$



# Polynominterpolation

## Rekursive Darstellung des Interpolationspolynoms

Die Auswertung der Lagrange-Formel ist aufwendig, wenn ein neues Datenpaar hinzukommt. Eine rekursive Berechnung ist ökonomischer:

### Lemma 6.4

Für eine beliebige Indexmenge  $0 \leq i_0 < i_1 < \dots < i_k \leq n$  bezeichne  $p_{i_0, i_1, \dots, i_k}$  das (nach Satz 6.3 eindeutig bestimmte) Polynom vom Grad  $k$ , das die Bedingungen

$$p_{i_0, i_1, \dots, i_k}(x_{i_j}) = f_{i_j}, \quad j = 0, 1, \dots, k$$

erfüllt. Dann gilt die Rekursionsformel

$$\begin{aligned} p_i(x) &= f_i, \\ p_{i_0, i_1, \dots, i_k}(x) &= \frac{(x - x_{i_0})p_{i_1, i_2, \dots, i_k}(x) - (x - x_{i_k})p_{i_0, i_1, \dots, i_{k-1}}(x)}{x_{i_k} - x_{i_0}}. \end{aligned}$$

# Polynominterpolation

## Aitken-Neville-Schema

Rechenschema (**Algorithmus von Neville-Aitken**, [Charles William Neville, \* 1941]; [Alexander Craig Aitken, 1895–1967] ):

| $x_i$ | $k = 0$        | $k = 1$      | $k = 2$        | $k = 3$          | $k = 4$ |
|-------|----------------|--------------|----------------|------------------|---------|
| $x_0$ | $p_0(x) = f_0$ |              |                |                  |         |
| $x_1$ | $p_1(x) = f_1$ | $p_{0,1}(x)$ |                |                  |         |
| $x_2$ | $p_2(x) = f_2$ | $p_{1,2}(x)$ | $p_{0,1,2}(x)$ |                  |         |
| $x_3$ | $p_3(x) = f_3$ | $p_{2,3}(x)$ | $p_{1,2,3}(x)$ | $p_{0,1,2,3}(x)$ |         |
| $x_4$ | $p_4(x) = f_4$ | $p_{3,4}(x)$ | $p_{2,3,4}(x)$ | $p_{1,2,3,4}(x)$ |         |

(Berechnungsreihenfolge :  $p_0 \rightarrow p_1 \rightarrow p_{0,1} \rightarrow p_2 \rightarrow p_{1,2} \rightarrow p_{0,1,2} \rightarrow \dots$ )

# Polynominterpolation

Beispiel: Aitken-Neville-Schema

**Beispiel 2** (vgl. Beispiel 1).

| $x_i$ | $k = 0$ | $k = 1$   | $k = 2$   |
|-------|---------|---|---|
| -1    | -1      | $\frac{(x - (-1))(-1) - (x - 0)(-1)}{0 - (-1)} = -1$      |   |
| 0     | -1      |   | $\frac{(x - (-1))(3x/2 - 1) - (x - 2)(-1)}{2 - (-1)} = \frac{1}{2}x^2 + \frac{1}{2}x - 1$ |
| 2     | 2       | $\frac{(x - 0)2 - (x - 2)(-1)}{2 - 0} = \frac{3}{2}x - 1$ |   |

Aufwand des Neville-Aitken Schemas (für Auswertung des Interpolationspolynoms vom Grad  $n$  an einer Stelle  $x$ ):

$\frac{5}{2}n^2 + \frac{7}{2}n + 1$  Gleitpunktoperationen (falls die Differenzen  $x - x_i$  ( $0 \leq i \leq n$ ) vorab bestimmt werden).

# Polynominterpolation

Tableau der dividierten Differenzen

Tableau der dividierten Differenzen von  $f$  (vgl. § 4.4):

| $x_i$ | $k = 0$ | $k = 1$   | $k = 2$     | $k = 3$       | $k = 4$ |
|-------|---------|-----------|-------------|---------------|---------|
| $x_0$ | $f_0$   |           |             |               |         |
| $x_1$ | $f_1$   | $f_{0,1}$ |             |               |         |
| $x_2$ | $f_2$   | $f_{1,2}$ | $f_{0,1,2}$ | $f_{0,1,2,3}$ |         |
| $x_3$ | $f_3$   | $f_{2,3}$ | $f_{1,2,3}$ | $f_{1,2,3,4}$ |         |
| $x_4$ | $f_4$   | $f_{3,4}$ |             |               |         |

mit

$$f_{i_0, i_1, \dots, i_k} := \frac{f_{i_1, i_2, \dots, i_k} - f_{i_0, i_1, \dots, i_{k-1}}}{x_{i_k} - x_{i_0}} \quad (k \geq 1).$$

# Polynominterpolation

## Newton-Darstellung des Interpolationspolynoms

### Satz 6.5

(vgl. Satz 4.7 in § 4.4) Mit Hilfe der dividierten Differenzen lässt sich das (nach Satz 6.3 eindeutig bestimmte) Interpolationspolynom  $p$  in **Newton-Form**

$$\begin{aligned} p(x) = & f_0 + f_{0,1}(x - x_0) + f_{0,1,2}(x - x_0)(x - x_1) + \cdots \\ & \cdots + f_{0,1,\dots,n}(x - x_0)(x - x_1) \cdots (x - x_{n-1}) \end{aligned}$$

darstellen.

Rechenaufwand:

- Zur Bestimmung der Differenzentafel:  $\frac{3}{2}(n^2 + n)$  Gleitpunktoperationen.
- Zur Auswertung des Newtonschen Interpolationspolynoms mit dem **Horner-Schema** ([William George Horner, 1786–1837]):  
 $3n$  Gleitpunktoperationen (pro Auswertungspunkt).

# Polynominterpolation

Beispiel: Newton-Darstellung des Interpolationspolynoms

**Beispiel 3** (vgl. Beispiele 1 und 2).

Dividierte Differenzen:

| $x_i$ | $k = 0$ | $k = 1$                                      | $k = 2$  |
|-------|---------|--|--|
| -1    | -1      | $f_{0,1} = \frac{(-1)-(-1)}{0-(-1)} = 0$     |  |
| 0     | -1      |  | $f_{0,1,2} = \frac{\frac{3}{2}-0}{2-(-1)} = \frac{1}{2}$ |
| 2     | 2       | $f_{1,2} = \frac{2-(-1)}{2-0} = \frac{3}{2}$ |  |

Das bedeutet:

$$p(x) = \boxed{(-1)} + \boxed{0}(x - (-1)) + \boxed{\frac{1}{2}}(x - (-1))(x - 0) = \frac{1}{2}x^2 + \frac{1}{2}x - 1.$$

# Polynominterpolation

## Baryzentrische Interpolationsformeln

Das zu den (paarweise verschiedenen) Interpolationsknoten  $\{x_0, x_1, \dots, x_n\}$  gehörende **Knotenpolynom** sei definiert durch

$$\omega_{n+1}(x) := (x - x_0)(x - x_1) \cdots (x - x_n) \in \mathcal{P}_{n+1}.$$

Definiert man die **baryzentrischen Gewichte**  $\{w_j\}_{j=0}^n$  durch

$$w_j := \frac{1}{\prod_{\substack{k=0 \\ k \neq j}}^n (x_j - x_k)} = \frac{1}{\omega'_{n+1}(x_j)}, \quad j = 0, \dots, n, \quad (6.3)$$

so gilt für die Lagrange Grundpolynome

$$\ell_j(x) = \omega_{n+1}(x) \frac{w_j}{x - x_j}, \quad j = 0, \dots, n,$$

und hiermit lässt sich das Interpolationspolynom darstellen durch die ...

# Polynominterpolation

## Baryzentrische Interpolationsformeln

### erste baryzentrische Formel

$$p(x) = \omega_{n+1}(x) \sum_{j=0}^n f_j \frac{w_j}{x - x_j}.$$

Da die konstante Funktion  $f \equiv 1$  exakt interpoliert wird gilt

$$1 = \omega_{n+1}(x) \sum_{j=0}^n \frac{w_j}{x - x_j},$$

und somit nach Quotientenbildung und Kürzen die zweite baryzentrische Formel

$$p(x) = \frac{\sum_{j=0}^n f_j \frac{w_j}{x - x_j}}{\sum_{j=0}^n \frac{w_j}{x - x_j}}.$$

# Polynominterpolation

## Baryzentrische Interpolationsformeln

**Aufdatierung.** Bei Hinzunahme von  $x_{n+1}$

$$w_j^{\text{neu}} := \frac{w_j^{\text{alt}}}{x_j - x_{n+1}}, \quad j = 0, \dots, n, \quad (2n + 2 \text{ Flops}).$$

$w_{n+1}$  aus (6.3),  $n + 1$  weitere Flops, falls  $x_j - x_{n+1}$  gemerkt werden.

### Aufwand.

- Berechnung von  $\{w_j\}_{j=0}^n$  erfordert  $\sum_{j=1}^n 3j = \frac{3}{2}n(n + 1)$  Flops.
- Bei gegebenen Gewichten  $\{w_j\}_{j=0}^n$  jede Auswertung von  $p$  in weiteren  $5n + 4 = O(n)$  Flops.

### Weitere Vorteile.

- $w_j$  hängen nicht von den Daten  $f_j$  ab, d.h. bei gegebenen Gewichten können beliebige Funktionen  $f$  in  $O(n)$  Flops interpoliert werden.
- $w_j$  unabhängig von Knotennummerierung (vgl. dividierte Differenzen).

# Polynominterpolation

## Baryzentrische Interpolationsformeln

**Beispiel.** Interpolation an äquidistanten Knoten in  $[a, b]$  führt auf

$$w_j = (-1)^j \binom{n}{j} \quad j = 0, 1, \dots, n$$

(modulo des gemeinsamen Faktors  $\frac{(-1)^n}{n!} \left(\frac{n}{b-a}\right)^n$ ).

# Polynominterpolation

## Interpolationsfehler

### Satz 6.6 (Fehler der Polynominterpolation)

Die Funktion  $f \in C^{n+1}[a, b]$  werde durch das Polynom  $p \in \mathcal{P}_n$  interpoliert an den paarweise verschiedenen Knoten  $\{x_0, x_1, \dots, x_n\} \subset [a, b]$ . Deren **Knotenpolynom** sei bezeichnet mit

$$\omega_{n+1}(x) = (x - x_0)(x - x_1) \cdots (x - x_n) \in \mathcal{P}_{n+1}.$$

Dann gibt es zu jedem  $x \in [a, b]$  ein  $\xi = \xi(x) \in (a, b)$  mit

$$f(x) - p(x) = \frac{\omega_{n+1}(x)}{(n+1)!} f^{(n+1)}(\xi).$$

Mit  $M_{n+1} := \max_{a \leq t \leq b} |f^{(n+1)}(t)|$  gilt somit für alle  $x \in [a, b]$  die Fehlerabschätzung

$$|f(x) - p(x)| \leq \frac{M_{n+1}}{(n+1)!} \max_{a \leq t \leq b} |\omega_{n+1}(t)|. \quad (6.4)$$

# Polynominterpolation

## Konvergenz einer Interpolationsfolge

### Korollar 6.7

Die Funktion  $f \in C^\infty[a, b]$  mit

$$|f^{(n)}(x)| \leq M \quad \forall x \in [a, b], \quad \forall n \in \mathbb{N}, \quad (6.5)$$

werde für jedes  $n \in \mathbb{N}$  durch das Polynom  $p_n \in \mathcal{P}_n$  an der beliebigen Knotenfolge  $\{x_j^{(n)}\}_{j=0}^n \subset [a, b]$  interpoliert. Dann gilt

$$\max_{x \in [a, b]} |f(x) - p_n(x)| \rightarrow 0 \quad \text{für} \quad n \rightarrow \infty.$$

Die sehr starke Forderung (6.5) ist erfüllt z.B. für  $e^x$ ,  $\sin x$ ,  $\cos x$  und (natürlich) für Polynome. Bereits für die rationale Funktion  $f(x) = 1/x$  mit  $f^{(n)}(x) = \pm n! / x^{n+1}$  gilt (6.5) etwa auf dem Intervall  $[1, 2]$  schon nicht mehr.

# Polynominterpolation

„Optimale“ Knoten

Idee (motiviert durch Fehlerabschätzung): wähle Knoten  $a \leq x_0 < x_1 < \dots < x_n \leq b$  so, dass

$$\max_{a \leq t \leq b} |\omega_{n+1}(t)| = \max_{a \leq t \leq b} \prod_{i=0}^n |t - x_i|$$

so klein wie möglich wird.

Lösung: Tschebyscheff-Knoten [Pafnuti Lwowitsch Tschebyscheff, 1821–1894]

$$x_i^{(\text{T})} = \frac{b-a}{2} \cos \left( \frac{2(n-i)+1}{2n+2} \pi \right) + \frac{a+b}{2}, \quad i = 0, 1, \dots, n,$$

mit

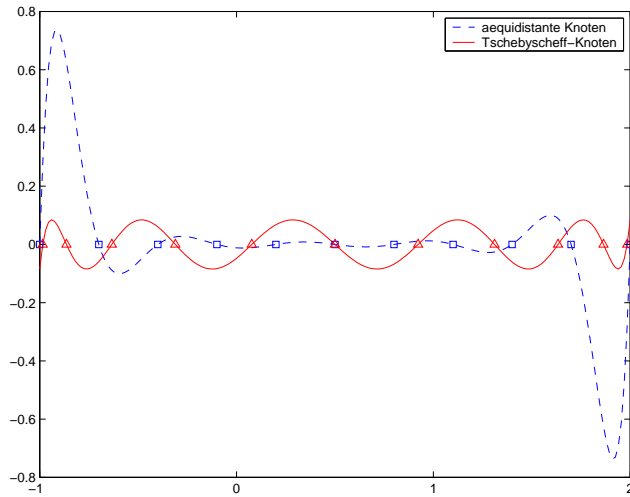
$$\max_{a \leq t \leq b} \prod_{i=0}^n |t - x_i^{(\text{T})}| = 2 \left( \frac{b-a}{4} \right)^n < \max_{a \leq t \leq b} \prod_{i=0}^n |t - x_i|$$

für jede andere Wahl  $x_0, \dots, x_n$  der Knoten.

# Polynominterpolation

## Knotenpolynome

Knotenpolynome mit äquidistanten und Tschebyscheff-Knoten:

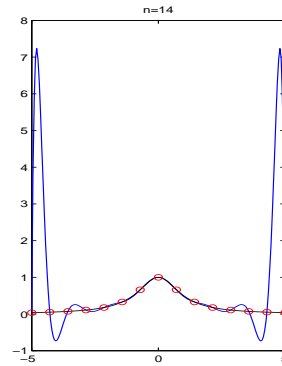
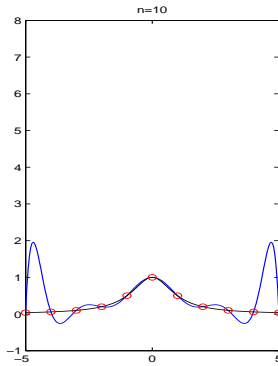


# Polynominterpolation

## Das Runge-Phänomen

**Beispiel 4.**(Runge<sup>6</sup>-Phänomen<sup>7</sup>) Interpoliere an  $n + 1$  äquidistanten Stützstellen

$$f(x) = \frac{1}{1+x^2}, \quad -5 \leq x \leq 5, \quad (\text{Runge-Funktion})$$



<sup>6</sup>[Carl David Tolmé Runge, 1856–1927].

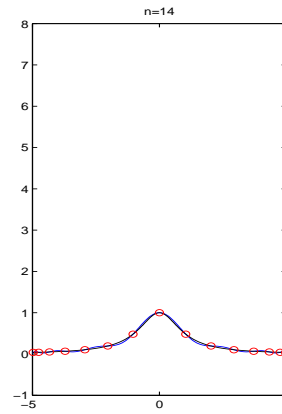
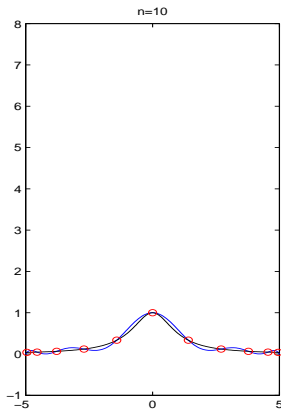
<sup>7</sup>C. Runge. Über empirische Funktionen und die Interpolation zwischen äquidistanten Ordinaten. Zeitschrift für Mathematik und Physik 46 (1901) pp. 224–243

# Polynominterpolation

Das Runge-Phänomen

**Beispiel 5.** Interpoliere an  $n + 1$  Tschebyscheff-Knoten

$$f(x) = \frac{1}{1+x^2}, \quad -5 \leq x \leq 5.$$



# Polynominterpolation

## Fazit: Das polynomiale Interpolationsproblem

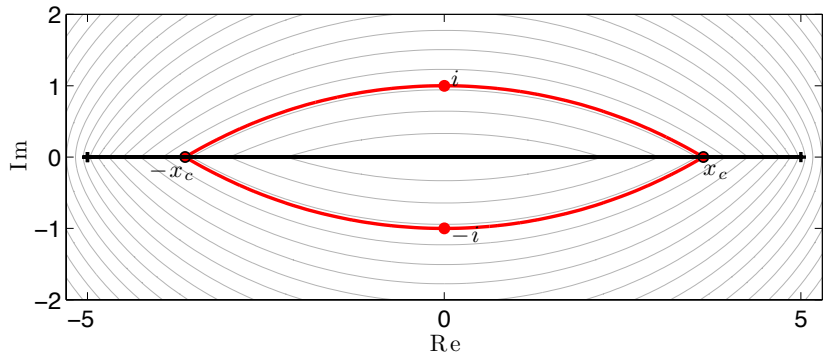
- Durch eine geeignete Knotenwahl (Tschebyscheff-Knoten) lässt sich auch die Runge-Funktion durch Interpolationspolynome beliebig genau annähern.
- Prinzipiell ist eine Approximation durch Interpolationspolynome aber nur dann ratsam, wenn man mit wenigen Knoten (d.h. mit Polynomen niedrigen Grades) ausreichend gute Ergebnisse erzielen kann. Das ist i.A. nur bei extrem glatten Funktionen (wie etwa bei der Exponentialfunktion) gewährleistet. (Die Runge-Funktion ist zwar in ganz  $\mathbb{R}$  beliebig oft differenzierbar, besitzt aber Pole in  $\pm\sqrt{-1}$ . Wie gut eine Funktion durch reelle Interpolationspolynome genähert werden kann, hängt auch von der Lage ihrer komplexen Singularitäten ab!)
- Polynome hohen Grades neigen zu Oszillationen und sind daher zur Approximation oft unbrauchbar.

# Polynominterpolation

## Konvergenz polynomialer Interpolation

Für äquidistante Knoten in  $[-5, 5]$  gilt  $\lim_{n \rightarrow \infty} |\omega_{n+1}(z)|^{\frac{1}{n+1}} = G(z)$ ,

$$G(z) = \exp \left\{ \frac{1}{10} \operatorname{Re} [(z+5) \log(z+5) - (z-5) \log(z-5)] - 1 \right\}.$$



Höhenlinien von  $G(z)$ , rot gekennzeichnet ist das Niveau von  $G(\pm i)$ , welches in  $\pm x_c \approx \pm 3.6333843024$  die reelle Achse schneidet.

# Polynominterpolation

## Konvergenz polynomialer Interpolation

### Satz 6.8 (Runge, 1901)

Besitzt die Funktion  $f$  keine Singularität im Gebiet

$$D_\rho := \{z \in \mathbb{C} : G(z) \leq G(\rho)\}, \quad \rho > 0,$$

so gilt

$$p_n(x) \rightarrow f(x) \quad \text{für } n \rightarrow \infty \text{ gleichmäßig für } x \in (-\rho, \rho).$$

# Polynominterpolation

## Eine Anwendung: Numerische Differentiation

Naheliegende Idee, um die  $n$ -te Ableitung einer komplizierten Funktion  $f$  anzunähern:

- (1) Bestimme ein Interpolationspolynom  $p$  vom Grad  $n$  für  $f$ .
- (2) Differenziere  $p$   $n$ -mal:  $p^{(n)}(x) = n! f_{0,1,\dots,n}$ .

### Beispiele:

- (a) Knoten:  $x_0$  und  $x_1 = x_0 + h$ , d.h.

$$f'(x_0) \approx p'(x_0) = 1! f_{0,1} = \frac{f(x_0 + h) - f(x_0)}{h}.$$

- (b) Knoten:  $x_0 = x_1 - h$ ,  $x_1$  und  $x_2 = x_1 + h$ , d.h.

$$f''(x_1) \approx p''(x_1) = 2! f_{0,1,2} = \frac{f(x_1 + h) - 2f(x_1) + f(x_1 - h)}{h^2}.$$

# Polynominterpolation

Eine Anwendung: Numerische Differentiation

**Problematik:** Numerische Auslöschung.

Für  $f(x) = \sinh(x) = \frac{1}{2}(e^x - e^{-x})$  approximiere

$$0.636653582\dots = f(0.6) = f''(0.6) \approx \frac{f(0.6-h) - 2f(0.6) + f(0.6+h)}{h^2}$$

für  $h = 10^{-e}$ ,  $e = 1, 2, \dots$ , im IEEE-double-Format

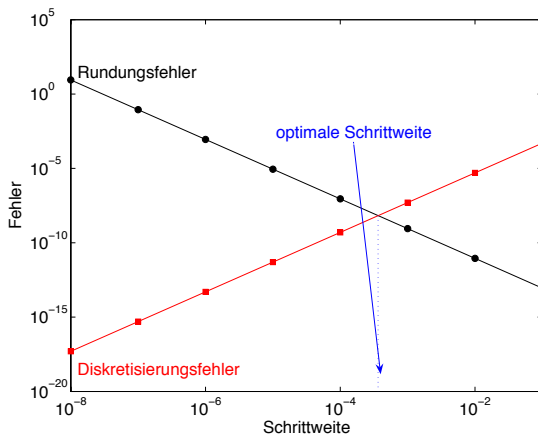
(Maschinengenauigkeit:  $\text{eps} = 2^{-52} \approx 2.2 \cdot 10^{-16}$ ).

| $e$ | $f''(0.6) \approx$      | $e$ | $f''(0.6) \approx$      |
|-----|-------------------------|-----|-------------------------|
| 1   | <u>0.63718430367986</u> | 5   | <u>0.63665517302525</u> |
| 2   | <u>0.63665888761277</u> | 6   | <u>0.63682392692499</u> |
| 3   | <u>0.63665363525534</u> | 7   | <u>0.64392935428259</u> |
| 4   | <u>0.63665358540632</u> | 8   | 2.22044604925031        |

# Polynominterpolation

Eine Anwendung: Numerische Differentiation

$$\begin{aligned}\text{Diskretisierungsfehler} &\sim \frac{1}{12} f^{(4)}(0.6) h^2 \approx \frac{1}{20} 10^{-2e}, \\ \text{Rundungsfehler} &\approx 4h^{-2}\text{eps} = 4 \text{eps} 10^{2e}.\end{aligned}$$



# Inhalt

- ① Einführung und Begriffe
- ② Gleitpunktarithmetik und Fehleranalyse
- ③ Direkte Verfahren zur Lösung linearer Gleichungssysteme
- ④ Direkte Verfahren für spezielle Systeme
- ⑤ Lineare Ausgleichsrechnung
- ⑥ Interpolation und Approximation
  - 6.1 Polynominterpolation
  - 6.2 Spline-Interpolation
  - 6.3 Bestapproximation in Innenprodukträumen
  - 6.4 Trigonometrische Interpolation

# Spline-Interpolation

## Splines

Splines sind „stückweise Polynome“.<sup>8</sup>

**Idee:** Um eine besser Polynomapproximation zu erzielen, wird hier nicht der Polynomgrad erhöht, sondern die Unterteilung des Intervalls verfeinert.

Seien  $n + 1$  Knoten in  $[a, b]$  gegeben:  $a = x_0 < x_1 < \dots < x_{n-1} < x_n = b$ . Mit

$$\mathcal{T} := [x_0, x_1] \cup [x_1, x_2] \cup \dots \cup [x_{n-1}, x_n]$$

bezeichnen wir die zugehörige Zerlegung des Intervalls  $[a, b]$ . Ein Spline vom Grad  $k$  bez.  $\mathcal{T}$  ist eine Funktion  $s \in C^{k-1}[a, b]$ , die auf jedem Teilintervall von  $\mathcal{T}$  mit einem Polynom vom Grad  $k$  übereinstimmt:

$$s|_{[x_{i-1}, x_i]} \in \mathcal{P}_k \quad \text{für } i = 1, 2, \dots, n.$$

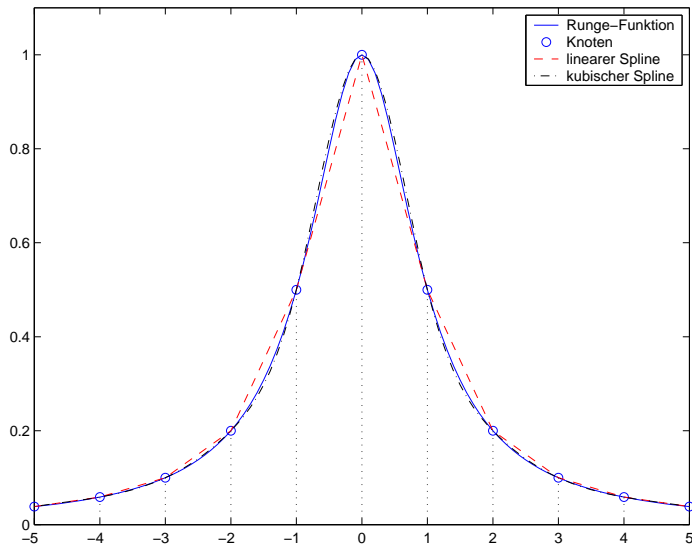
### Satz 6.9

Die Menge  $\mathcal{S}_{\mathcal{T}}^k$  aller Splines vom Grad  $k$  bez.  $\mathcal{T}$  ist ein  $(n + k)$ -dimensionaler linearer Raum.

<sup>8</sup>Wörtlich: Spezielle biegsame Kurvenlineale, die durch Halterungen gezwungen werden, auf dem Zeichenpapier gegebene Punkte zu verbinden; wurden im Schiffsbau verwendet.

# Spline-Interpolation

Spline-Approximation der im Runge-Beispiel



# Spline-Interpolation

## Lineare Spline-Interpolation

Einfachster Fall:  $k = 1$ .

Ein Spline  $s$  vom Grad 1 (**linearer Spline**) ist charakterisiert durch die beiden Eigenschaften:

(1) Auf jedem Teilintervall  $[x_{i-1}, x_i]$  von  $\mathcal{T}$  ist  $s$  linear:

$$s(x) = \alpha_i + \beta_i x \quad \text{für alle } x \in [x_{i-1}, x_i] \text{ und } i = 1, 2, \dots, n.$$

(2) Auf ganz  $[a, b]$  ist  $s$  stetig, d.h. für  $i = 1, 2, \dots, n - 1$

$$\lim_{x \rightarrow x_i^-} s(x) = \alpha_i + \beta_i x_i = \alpha_{i+1} + \beta_{i+1} x_i = \lim_{x \rightarrow x_i^+} s(x).$$

**Interpolationsaufgabe:** Zu vorgebener Zerlegung  $\mathcal{T} = [x_0, x_1] \cup [x_1, x_2] \cup \dots \cup [x_{n-1}, x_n]$  von  $[a, b]$  und zu vorgegebenen Werten  $f_0, f_1, \dots, f_n$  bestimme man einen linearen Spline  $s \in \mathcal{S}_{\mathcal{T}}^1$  mit

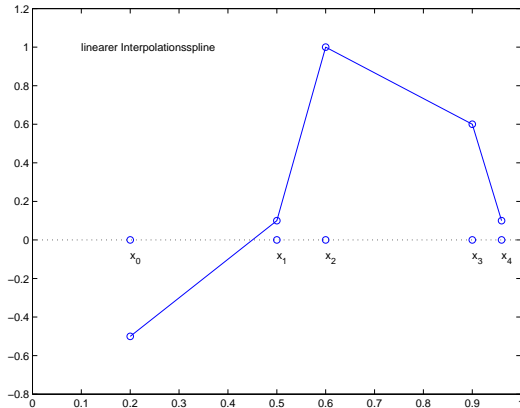
$$s(x_i) = f_i \quad \text{für alle } i = 0, 1, \dots, n.$$

# Spline-Interpolation

## Lineare Spline-Interpolation

Offensichtlich: Diese Aufgabe ist eindeutig lösbar:

$$s(x) = f_{i-1} + \frac{f_i - f_{i-1}}{x_i - x_{i-1}} (x - x_{i-1}) \quad \text{für } x \in [x_{i-1}, x_i].$$



# Spline-Interpolation

## Lineare Spline-Interpolation

**Fehler des linearen Interpolationssplines:** ( $f \in C^2[a, b]$ )

Lokal, d.h. für  $x \in [x_{i-1}, x_i]$ , gilt

$$|f(x) - s(x)| = \frac{1}{2} |f''(\zeta)| |(x - x_{i-1})(x - x_i)| \leq \frac{1}{8} M_{2,i} h_i^2$$

mit  $M_{2,i} = \max_{x_{i-1} \leq \zeta \leq x_i} |f''(\zeta)|$  und  $h_i = x_i - x_{i-1}$ .

Global, d.h. für  $x \in [x_0, x_n]$ , erhalten wir

$$|f(x) - s(x)| \leq \frac{1}{8} M_2 h_{\max}^2$$

mit  $M_2 = \max_{1 \leq i \leq n} M_{2,i} = \max_{x_0 \leq \zeta \leq x_n} |f''(\zeta)|$  und  $h_{\max} = \max_{1 \leq i \leq n} h_i$ .

**Adaptive Knotenwahl.** Strategie: Fehler etwa gleich auf jedem Teilintervall. D.h.: Wähle  $h_i$  invers proportional zu  $\sqrt{M_{2,i}}$  (viele Knoten dort, wo die Krümmung von  $f$  groß ist).

# Spline-Interpolation

## Lineare Spline-Interpolation

### Zur Implementierung.

Gegeben:  $x_0, x_1, \dots, x_n$  und  $f_0, f_1, \dots, f_n$ .

Gesucht: Wert  $s(x)$  des linearen Interpolationssplines an der Stelle  $x$ .

- Bestimme  $g_{i-1} = (f_i - f_{i-1})/(x_i - x_{i-1})$  für  $i = 1, 2, \dots, n$ .
- Falls  $x \in [x_{i-1}, x_i]$ , dann  $s(x) = f_{i-1} + g_{i-1}(x - x_{i-1})$ .

**Problem:** Gegeben  $x$ , in welchem Teilintervall  $[x_{i-1}, x_i]$  liegt  $x$ ?

Einfach, falls  $h_i = h$  (äquidistante Knoten):

$$i = \left\lceil \frac{x - x_0}{h} \right\rceil := \min \left\{ k \in \mathbb{N} : k \geq \frac{x - x_0}{h} \right\}.$$

Schwieriger bei beliebigen Knoten: **binäres Suchen** ergibt Komplexität von  $\approx \log n$ .

# Spline-Interpolation

## Kubische Spline-Interpolation

Gesucht ist ein **interpolierender kubischer Spline**  $s \in \mathcal{S}_{\mathcal{T}}^3$ .

Charakteristische Eigenschaften:

- (1) Auf jedem Teilintervall  $[x_{i-1}, x_i]$  von  $\mathcal{T}$  ist  $s$  kubisch:

$$s(x) = p_i(x) = \alpha_i + \beta_i(x - x_{i-1}) + \gamma_i(x - x_{i-1})^2 + \delta_i(x - x_{i-1})^3.$$

- (2) Auf ganz  $[a, b]$  ist  $s$  zweimal stetig differenzierbar, d.h.

$$p_i(x_i) = p_{i+1}(x_i), \quad p'_i(x_i) = p'_{i+1}(x_i), \quad p''_i(x_i) = p''_{i+1}(x_i)$$

für  $i = 1, 2, \dots, n - 1$ .

- (3) Interpolationsbedingungen:

$$s(x_i) = f_i, \quad i = 0, 1, \dots, n.$$

**Fazit:**  $3(n - 1) + (n + 1) = 4n - 2$  Bedingungen, aber  $4n$  Freiheitsgrade.

# Spline-Interpolation

## Kubische Spline-Interpolation

Drei Möglichkeiten für die erforderlichen zwei Zusatzbedingungen.

Natürlicher Spline:

$$s''(x_0) = s''(x_n) = 0 \quad (\text{N})$$

Hermitescher oder vollständiger Spline [Charles Hermite, 1822–1901]:

$$s'(x_0) = f'_0 \quad \text{und} \quad s'(x_n) = f'_n \quad \text{mit} \quad f'_0, f'_n \in \mathbb{R}. \quad (\text{H})$$

Periodischer Spline: Falls  $s(x_0) = s(x_n)$ ,

$$s'(x_0) = s'(x_n) \quad \text{und} \quad s''(x_0) = s''(x_n). \quad (\text{P})$$

# Spline-Interpolation

## Berechnung des kubischen Interpolationssplines

Auf jedem Teilintervall  $[x_{i-1}, x_i]$  besitzt der kubische Spline die Darstellung

$$s(x) = p_i(x) = \alpha_i + \beta_i(x - x_{i-1}) + \gamma_i(x - x_{i-1})^2 + \delta_i(x - x_{i-1})^3$$

mit Koeffizienten  $\alpha_i, \beta_i, \gamma_i$  und  $\delta_i$ , welche sich wiederum darstellen lassen durch durch die **Momente**  $\mu_i := s''(x_i)$  und die Funktionswerte  $f_i$  ( $i = 0, 1, \dots, n$ ):

$$\begin{aligned}\alpha_i &= f_{i-1}, & \beta_i &= \frac{f_i - f_{i-1}}{h_i} - \frac{h_i}{6}(\mu_i + 2\mu_{i-1}), \\ \gamma_i &= \frac{1}{2}\mu_{i-1}, & \delta_i &= \frac{\mu_i - \mu_{i-1}}{6h_i},\end{aligned}$$

wobei  $h_i := x_i - x_{i-1}$ .

Mit anderen Woren: Ein kubischer Spline ist durch die Funktionswerte und die Momente

$$f_i, \mu_i \quad i = 0, 1, \dots, n$$

eindeutig bestimmt.

# Spline-Interpolation

## Berechnung des kubischen Interpolationssplines

Die  $(n + 1)$  Momente  $\mu_i$  erfüllen die  $(n - 1)$  linearen Gleichungen

$$\frac{h_i}{6}\mu_{i-1} + \frac{h_i + h_{i+1}}{3}\mu_i + \frac{h_{i+1}}{6}\mu_{i+1} = \frac{f_{i+1} - f_i}{h_{i+1}} - \frac{f_i - f_{i-1}}{h_i}$$

$(i = 1, 2, \dots, n - 1)$  und zwei Zusatzgleichungen:

$$\begin{aligned} (\mathbb{N}) \quad \mu_0 &= 0, \\ \mu_n &= 0, \end{aligned}$$

$$\begin{aligned} (\mathbb{H}) \quad \frac{h_1}{3}\mu_0 + \frac{h_1}{6}\mu_1 &= \frac{f_1 - f_0}{h_1} - f'_0, \\ \frac{h_n}{6}\mu_{n-1} + \frac{h_n}{3}\mu_n &= f'_n - \frac{f_n - f_{n-1}}{h_n}, \end{aligned}$$

$$\begin{aligned} (\mathbb{P}) \quad \mu_0 &= \mu_n, \\ \frac{h_1}{6}\mu_1 + \frac{h_1}{6}\mu_{n-1} + \frac{h_1 + h_n}{3}\mu_n &= \frac{f_1 - f_n}{h_1} - \frac{f_n - f_{n-1}}{h_n}. \end{aligned}$$

# Spline-Interpolation

## Berechnung des kubischen Interpolationssplines

Im Weiteren werden nur vollständige kubische Splines (Bedingung (H)) betrachtet, analoge Aussagen gelten unter den Bedingungen (N) bzw. (P).

Die Momente des vollständigen kubischen Splines erfüllen das LGS (s.o.)

$$\begin{bmatrix} \frac{h_1}{3} & \frac{h_1}{6} & & \\ \frac{h_1}{6} & \frac{h_1+h_2}{3} & \frac{h_2}{6} & \\ & \ddots & \ddots & \ddots \\ & & \frac{h_{n-1}}{6} & \frac{h_{n-1}+h_n}{3} & \frac{h_n}{6} \\ & & & \frac{h_n}{6} & \frac{h_n}{3} \end{bmatrix} \begin{bmatrix} \mu_0 \\ \mu_1 \\ \vdots \\ \mu_{n-1} \\ \mu_n \end{bmatrix} = \begin{bmatrix} d_0 \\ d_1 \\ \vdots \\ d_{n-1} \\ d_n \end{bmatrix} \quad (6.6)$$

$$\text{mit } d_0 = \frac{f_1 - f_0}{h_1} - f'_0, \quad d_j = \frac{f_{j+1} - f_j}{h_{j+1}} - \frac{f_j - f_{j-1}}{h_j} \quad (1 \leq j \leq n),$$

$$\text{und } d_n = f'_n - \frac{f_n - f_{n-1}}{h_n}.$$

# Spline-Interpolation

Existenz, Eindeutigkeit, Fehler

## Satz 6.10

Für jede Wahl der Knoten  $a = x_0 < x_1 < \dots < x_n = b$  ist das Gleichungssystem (6.6) eindeutig lösbar. D.h.: Zu jeder Knotenwahl gibt es genau einen vollständigen kubischen Interpolationsspline für  $f$ .

## Satz 6.11 (Fehler bei kubischer Spline-Interpolation)

Ist  $f \in C^4[a, b]$  und  $s \in \mathcal{S}_{\mathcal{T}}^3$  der vollständige kubische Interpolationsspline für  $f$ , dann gelten

$$\max_{x \in [a, b]} |f(x) - s(x)| \leq \frac{5}{384} M_4 h_{\max}^4,$$

$$\max_{x \in [a, b]} |f'(x) - s'(x)| \leq \frac{1}{24} M_4 h_{\max}^3,$$

$$\max_{x \in [a, b]} |f''(x) - s''(x)| \leq \frac{3}{8} M_4 h_{\max}^2$$

mit  $M_4 := \max_{a \leq x \leq b} |f^{(4)}(x)|$  und  $h_{\max} := \max_{1 \leq i \leq n} h_i = \max_{1 \leq i \leq n} (x_i - x_{i-1})$ .

# Spline-Interpolation

Fehlerdarstellung in  $\mathcal{H}^2$ -Halbnorm

Wir definieren allgemein

$$\mathcal{H}^k = \mathcal{H}^k(a, b) := \left\{ f : [a, b] \rightarrow \mathbb{R} : f, f', \dots, f^{(k-1)} \text{ absolut stetig, } f^{(k)} \text{ ex. f.ü., } f^{(k)} \in L^2(a, b) \right\}$$

und setzen für  $f \in \mathcal{H}^2$ ,

$$|f|_2 := \left( \int_a^b |f''(x)|^2 dx \right)^{1/2}.$$

## Lemma 6.12

Für  $f \in \mathcal{H}^2$  und  $s \in \mathcal{S}_{\mathcal{T}}^3$  gilt

$$|f - s|_2^2 = |f|_2^2 - |s|_2^2 - 2 \left\{ [f'(x) - s'(x)]s''(x) \Big|_a^b - \sum_{i=1}^n [f(x) - s(x)]s'''(x) \Big|_{x_{i-1}+}^{x_i-} \right\}.$$

# Spline-Interpolation

Minimierung der Biegeenergie

## Satz 6.13 (Minimierungseigenschaft kubischer Splines)

Ist  $f \in \mathcal{H}^2$  und  $s \in \mathcal{S}_{\mathcal{T}}^3$  ein zugehöriger kubischer Interpolationsspline, der eine der drei Zusatzbedingungen (N), (H) oder (P) erfüllt, dann folgt

$$|s|_2^2 \leq |f|_2^2 \left( = \int_a^b f''(x)^2 dx \right).$$

Interpretation von Satz 6.13. Unter allen Funktionen  $f \in \mathcal{H}^2$  mit

$$f(x_i) = f_i, \quad i = 0, 1, \dots, n,$$

minimiert der interpolierende kubische Spline mit einer der Zusatzbedingungen (H), (N) oder (P) näherungsweise die **Biegeenergie**

$$E_B(f) := \int_a^b \frac{f''(x)^2}{[1 + f'(x)^2]^{3/2}} dx \approx \int_a^b f''(x)^2 dx.$$

# Inhalt

- ① Einführung und Begriffe
- ② Gleitpunktarithmetik und Fehleranalyse
- ③ Direkte Verfahren zur Lösung linearer Gleichungssysteme
- ④ Direkte Verfahren für spezielle Systeme
- ⑤ Lineare Ausgleichsrechnung
- ⑥ Interpolation und Approximation
  - 6.1 Polynominterpolation
  - 6.2 Spline-Interpolation
  - 6.3 Bestapproximation in Innenprodukträumen
  - 6.4 Trigonometrische Interpolation

# Bestapproximation in Innenprodukträumen

Sei  $\mathcal{V}$  ein Vektorraum über  $\mathbb{R}$  oder  $\mathbb{C}$  mit Innenprodukt  $(\cdot, \cdot)$ . Dann wird durch  $\|v\| := (\mathbf{v}, \mathbf{v})^{1/2}$  ( $v \in \mathcal{V}$ ) eine Norm auf  $\mathcal{V}$  definiert. Ist  $\mathcal{V}$  bez. dieser Norm vollständig, so heisst  $(\mathcal{V}, (\cdot, \cdot))$  ein **Hilbert-Raum**.

## Beispiele:

- 1.)  $\mathbb{R}^n$  ( $\mathbb{C}^n$ ) mit Innenprodukt  $(x, y) = y^\top x$  ( $(x, y) = y^H x$ ) ist ein Hilbert-Raum. (Die vom Innenprodukt induzierte Norm ist die Euklid-Norm.)
- 2.)  $\ell^2 := \{x = \{x_j\}_{j \in \mathbb{N}} \subset \mathbb{C} : \sum_{j=0}^{\infty} |x_j|^2 < \infty\}$  mit dem Innenprodukt  $(x, y) = \sum_{j=1}^{\infty} x_j \bar{y}_j$  ist ein Hilbert-Raum.
- 3.)  $\mathbb{C}^\infty := \{x = (x_j)_{j \in \mathbb{N}} \in \ell^2 : x_j = 0 \text{ bis auf endlich viele } j\}$  mit dem Innenprodukt  $(x, y) = \sum_{j=1}^{\infty} x_j \bar{y}_j$  ist **kein** Hilbert-Raum.
- 4.)  $\mathbb{C}^{n \times n}$  mit dem Innenprodukt  $(A, B) = \text{trace}(B^H A)$  ist ein Hilbert-Raum. (Die vom Innenprodukt induzierte Norm ist die Frobenius-Norm.)
- 5.)  $L^2(a, b) = \{f : [a, b] \rightarrow \mathbb{C} : \int_a^b |f(x)|^2 dx < \infty\}$  mit dem Innenprodukt  $(f, g) = \int_a^b f(x) \overline{g(x)} dx$  ist ein Hilbert-Raum.

# Bestapproximation in Innenprodukträumen

**Approximationsaufgabe:** Sei  $\mathcal{U}$  ein endlich-dimensionaler Teilraum des Innenproduktraums  $\mathcal{V}$  und  $v \in \mathcal{V}$ . Bestimme  $u^* = u^*(v) \in \mathcal{U}$  mit

$$\|u^* - v\| < \|u - v\| \quad \text{für alle } u \in \mathcal{U}, u \neq u^*.$$

$u^*$  heißt die **Bestapproximation** an  $v$  aus  $\mathcal{U}$ .

**Erinnerung.** Sei  $\mathcal{U}$  ein endlich-dimensionaler Teilraum des Innenproduktraums  $\mathcal{V}$ . Dann ist die **Orthogonalprojektion auf  $\mathcal{U}$**   $P : \mathcal{V} \rightarrow \mathcal{U}$  definiert durch

$$Pv = \begin{cases} v & v \in \mathcal{U}, \\ \mathbf{0} & v \in \mathcal{U}^\perp. \end{cases}$$

Ist  $\{u_1, u_2, \dots, u_n\}$  eine Orthonormalbasis von  $\mathcal{U}$ , so gilt

$$Pv = (v, u_1)u_1 + (v, u_2)u_2 + \cdots + (v, u_n)u_n \quad \text{für alle } v \in \mathcal{V}.$$

# Bestapproximation in Innenprodukträumen

## Satz 6.14

Sei  $\mathcal{U}$  ein endlich-dimensionaler Teilraum des Innenproduktraums  $\mathcal{V}$ ,  $P$  die Orthogonalprojektion auf  $\mathcal{U}$  und  $v \in \mathcal{V}$ .

Dann ist die Bestapproximation  $u^*$  aus  $\mathcal{U}$  an  $v$  gegeben durch  $u^* = Pv$ .  
Die Bestapproximation ist eindeutig bestimmt und charakterisiert durch

$$u^* - v \perp \mathcal{U}.$$

Ist  $\{u_1, u_2, \dots, u_n\}$  eine Orthonormalbasis von  $\mathcal{U}$ , so gelten

$$u^* = \sum_{j=1}^n (v, u_j) u_j \quad \text{und} \quad \|u^*\| = \left( \sum_{j=1}^n |(v, u_j)|^2 \right)^{1/2} \leq \|v\|$$

sowie

$$\|u^* - v\|^2 = \|v\|^2 - \|u^*\|^2.$$

# Bestapproximation in Innenprodukträumen

**Beispiel.** Die Bestapproximation an  $A \in \mathbb{R}^{n \times n}$  aus dem Unterraum der symmetrischen Matrizen (bez. der Frobenius-Norm) ist

$$A_S := \frac{1}{2}(A + A^\top) \quad (\text{der \textcolor{red}{symmetrische Anteil} von } A).$$

**Beispiel.** Der Raum  $\mathcal{T}_n$  der  vom Grad  $n$  definiert durch

$$\mathcal{T}_n := \text{span}\{e^{ikt} : k = 0, \pm 1, \dots, \pm n\} \subset L^2(0, 2\pi), \quad (\text{Bezeichnung: } i^2 = -1)$$

besitzt die Dimension  $2n+1$ . Die Funktionen  $\{\frac{1}{\sqrt{2\pi}}e^{ikt}\}_{k=-n}^n$  bilden eine ON-Basis von  $\mathcal{T}_n$ . Die Bestapproximation an  $f \in L^2(0, 2\pi)$  aus  $\mathcal{T}_n$  ist also

$$u_n^*(t) = \sum_{k=-n}^n a_k e^{ikt} \quad \text{mit} \quad a_k = \frac{1}{2\pi} \int_0^{2\pi} f(t) e^{-ikt} dt.$$

# Bestapproximation in Innenprodukträumen

**Bemerkung.** Im Fall von  $a_k = \bar{a}_{-k}$ ,  $k = 0, 1, \dots, n$ , (z.B. wenn  $f$  reellwertig ist) folgt mit  $\alpha_0 = 2a_0$ ,  $\alpha_k = 2 \operatorname{Re}(a_k)$ ,  $\beta_k = -2 \operatorname{Im}(a_k)$  ( $k = 1, 2, \dots, n$ ).

$$u_n^*(t) = \frac{\alpha_0}{2} + \sum_{k=1}^n [\alpha_k \cos(kt) + \beta_k \sin(kt)].$$

Dies folgt aus

$$\begin{aligned} u_n^*(t) &= \sum_{k=-n}^n a_k e^{ikt} = a_0 + \sum_{k=1}^n a_k e^{ikt} + \sum_{k=1}^n a_{-k} e^{-ikt} \\ &= a_0 + \sum_{k=1}^n (a_k [\cos(kt) + i \sin(kt)] + \overline{a_k} [\cos(kt) - i \sin(kt)]) \\ &= \underbrace{a_0}_{=: \frac{\alpha_0}{2}} + \sum_{k=1}^n \left[ \underbrace{2 \operatorname{Re}(a_k)}_{=: \alpha_k} \cos(kt) \underbrace{-2 \operatorname{Im}(a_k)}_{=: \beta_k} \sin(kt) \right]. \end{aligned}$$

# Inhalt

- ① Einführung und Begriffe
- ② Gleitpunktarithmetik und Fehleranalyse
- ③ Direkte Verfahren zur Lösung linearer Gleichungssysteme
- ④ Direkte Verfahren für spezielle Systeme
- ⑤ Lineare Ausgleichsrechnung
- ⑥ Interpolation und Approximation
  - 6.1 Polynominterpolation
  - 6.2 Spline-Interpolation
  - 6.3 Bestapproximation in Innenprodukträumen
  - 6.4 Trigonometrische Interpolation

# Trigonometrische Interpolation

## Trigonometrische Polynome

Seien

$$f_0, f_1, \dots, f_{m-1} \in \mathbb{R} \quad \text{und} \quad x_j := 2\pi j/m, \quad j = 0, 1, \dots, m-1,$$

d.h.  $x_0 < x_1 < \dots < x_{m-1}$  sind äquidistante Knoten aus  $[0, 2\pi)$ .

**Gesucht** ist ein **reelles trigonometrisches Polynom** vom Grad  $n$ ,

$$t_n(x) = \frac{\alpha_0}{2} + \sum_{k=1}^n [\alpha_k \cos(kx) + \beta_k \sin(kx)],$$

das die  $m$  Interpolationsbedingungen

$$t_n(x_j) = f_j \quad (j = 0, 1, \dots, m-1) \tag{6.7}$$

erfüllt. Hierbei ist

$$n = \begin{cases} \frac{m}{2} & \text{falls } m \text{ gerade,} \\ \frac{m-1}{2} & \text{falls } m \text{ ungerade.} \end{cases}$$

# Trigonometrische Interpolation

Transformation auf den (komplexen) Einheitskreis

## Vermöge der Abbildung

$$\phi : [0, 2\pi) \longrightarrow \mathbb{T} := \{z \in \mathbb{C} : |z| = 1\}, \quad x \mapsto z = e^{ix} = \cos x + i \sin x,$$

gehen die Knoten  $x_j$  über in die  $m$ -ten Einheitswurzeln:

$$\phi(x_j) = e^{2\pi ij/m} = [e^{2\pi i/m}]^j = \omega_m^j, \quad j = 0, 1, \dots, m-1,$$

$$\text{mit } \omega_m := e^{2\pi i/m} = \cos \frac{2\pi}{m} + i \sin \frac{2\pi}{m}.$$

Setzt man  $\beta_0 = 0$  und für  $k = 0, 1, \dots, n$

$$\mathbb{C}^2 \ni \begin{bmatrix} a_k \\ a_{-k} \end{bmatrix} := \begin{bmatrix} \frac{1}{2}(\alpha_k - i\beta_k) \\ \frac{1}{2}(\alpha_k + i\beta_k) \end{bmatrix} = \frac{1}{2} \begin{bmatrix} 1 & -i \\ 1 & i \end{bmatrix} \begin{bmatrix} \alpha_k \\ \beta_k \end{bmatrix}, \text{ d.h.}$$

$$\mathbb{R}^2 \ni \begin{bmatrix} \alpha_k \\ \beta_k \end{bmatrix} = \begin{bmatrix} 1 & 1 \\ i & -i \end{bmatrix} \begin{bmatrix} a_k \\ a_{-k} \end{bmatrix} = \begin{bmatrix} a_k + a_{-k} \\ i(a_k - a_{-k}) \end{bmatrix} = \begin{bmatrix} 2 \operatorname{Re} a_k \\ -2 \operatorname{Im} a_k \end{bmatrix},$$

# Trigonometrische Interpolation

Transformation auf den (komplexen) Einheitskreis

so folgt

$$t_n(x) = \sum_{k=-n}^n a_k e^{ikx} = \sum_{k=-n}^n a_k z^k = z^{-n} \sum_{k=-n}^n a_k z^{k+n} = z^{-n} p_{2n}(z)$$

mit  $p_{2n}(z) = \sum_{k=-n}^n a_k z^{k+n} = \sum_{j=0}^{2n} a_{j-n} z^j \in \mathcal{P}_{2n}$ .

Wegen

$$p_{2n}(\omega_m^j) = \omega_m^{jn} t_n(x_j)$$

ist die trigonometrische Interpolationsaufgabe hiermit zurückgeführt auf eine (gewöhnliche) Interpolationsaufgabe für (algebraische) Polynome.

# Trigonometrische Interpolation

Transformation auf den (komplexen) Einheitskreis

## Satz 6.15

Zu beliebig vorgegebenen paarweise verschiedenen Knoten  $x_0, x_1, \dots, x_{2n} \in [0, 2\pi)$  und zu beliebigen Funktionswerten  $f_0, f_1, \dots, f_{2n} \in \mathbb{R}$  gibt es genau ein reelles trigonometrisches Polynom  $t_n \in \mathcal{T}_n$  mit  $t_n(x_j) = f_j \quad (j = 0, 1, \dots, 2n).$

## Lemma 6.16

Für die  $m$ -ten Einheitswurzeln  $\omega_m^k$  ( $k \in \mathbb{Z}, m \in \mathbb{N}$ ) gelten:

- (a)  $[\omega_m^k]^j = \omega_m^{kj} = [\omega_m^j]^k \quad (j \in \mathbb{Z}),$
- b)  $\omega_{m\ell}^{k\ell} = \omega_m^k \quad (\ell \in \mathbb{Z}, \ell \neq 0),$
- c)  $\overline{\omega_m^k} = \omega_m^{-k},$
- d)  $\sum_{j=0}^{m-1} \omega_m^{kj} = \begin{cases} m, & \text{falls } k = 0 \pmod{m}, \\ 0, & \text{falls } k \neq 0 \pmod{m}. \end{cases}$

# Trigonometrische Interpolation

## Algebraische Interpolation an den Einheitswurzeln

Satz 6.17

Das komplexe (algebraische) Interpolationspolynom

$$p_{m-1}(z) = \sum_{k=0}^{m-1} c_k z^k \in \mathcal{P}_{m-1}$$

mit  $p_{m-1}(\omega_m^j) = f_j \in \mathbb{C}$  ( $j = 0, 1, \dots, m-1$ ) besitzt die Koeffizienten

$$c_k = \frac{1}{m} \sum_{j=0}^{m-1} f_j \omega_m^{-kj}, \quad k = 0, 1, \dots, m-1. \quad (6.8)$$

In Matrix-Vektor-Schreibweise

$$\begin{bmatrix} c_0 \\ c_1 \\ \vdots \\ c_{m-1} \end{bmatrix} = \frac{1}{m} F_m \begin{bmatrix} f_0 \\ f_1 \\ \vdots \\ f_{m-1} \end{bmatrix}$$

# Trigonometrische Interpolation

Algebraische Interpolation an den Einheitswurzeln

Satz 6.17 (Fortsetzung)

mit der Fourier-Matrix

$$F_m := [\omega_m^{-kj}]_{0 \leq k, j \leq m-1} = \begin{bmatrix} 1 & 1 & \cdots & 1 \\ 1 & \omega_m^{-1} & \cdots & \omega_m^{-m+1} \\ \vdots & \vdots & & \vdots \\ 1 & \omega_m^{-m+1} & \cdots & \omega_m^{-(m-1)^2} \end{bmatrix}.$$

**Bemerkung.** Mit den Bezeichnungen aus Satz 6.17 minimiert das „abgeschnittene“ Interpolationspolynom

$$p_{m,d}(z) := c_0 + c_1 z + \cdots + c_d z^d, \quad 0 \leq d \leq m-1,$$

unter allen Polynomen  $q \in \mathcal{P}_d$  die Fehlerquadratsumme zur Interpolationsvorschrift:

$$\sum_{j=0}^{m-1} |f_j - p_{m,d}(\omega_m^j)|^2 < \sum_{j=0}^{m-1} |f_j - q(\omega_m^j)|^2 \quad \text{für alle } q \in \mathcal{P}_d, q \neq p_{m,d}.$$

# Trigonometrische Interpolation

Trigonometrische Interpolation, allgemeiner reeller Fall

## Satz 6.18

Für  $m = 2n$  oder  $m = 2n + 1$  gibt es zu beliebigen  $f_0, f_1, \dots, f_{m-1} \in \mathbb{R}$  ein reelles trigonometrisches Interpolationspolynom

$$t_n(x) = \frac{\alpha_0}{2} + \sum_{k=1}^n [\alpha_k \cos(kx) + \beta_k \sin(kx)] \in \mathcal{T}_n$$

vom Grad  $n$ , das die  $m$  Bedingungen

$$t_n(2\pi j/m) = f_j \quad (j = 0, 1, \dots, m-1)$$

erfüllt. Seine Koeffizienten sind gegeben durch

$$\alpha_k = \frac{2}{m} \sum_{j=0}^{m-1} f_j \cos \frac{2\pi j k}{m} \quad \text{bzw.} \quad \beta_k = \frac{2}{m} \sum_{j=0}^{m-1} f_j \sin \frac{2\pi j k}{m}, \quad (k = 0, 1, \dots, n).$$

Im Fall  $m = 2n$  muss  $\beta_n = 0$  gesetzt und  $\alpha_n$  halbiert werden.